

Санкт-Петербургский Политехнический Университет Петра Великого
Институт компьютерных наук и технологий
Кафедра компьютерных систем и программных технологий

Телекоммуникационные технологии

Отчет по лабораторной работе №1
Сигналы телекоммуникационных систем

Работу
выполнил:
Соболь В.О.
Группа: 33501/4
Преподаватель:
Богач Н.В.

Санкт-Петербург
2017

Содержание

1. Цель работы	2
2. Программа работы	2
3. Теоретическая информация	2
4. Ход выполнения работы	2
4.1. Визуализация дискретного сигнала	2
4.2. Генерация кусочных зависимостей	3
4.2.1. Прямоугольный импульс	3
4.2.2. Треугольный импульс	4
4.2.3. Импульс с ограниченной полосой частот	4
4.2.4. Импульс Гаусса	5
4.3. Генерация последовательности импульсов	7
4.3.1. Последовательность прямоугольных импульсов	8
4.3.2. Последовательность треугольных импульсов	8
4.3.3. Функция Дирихле	8
4.4. Сигнал с меняющейся частотой	9
4.4.1. Линейная зависимость	9
4.4.2. Квадратичная зависимость	10
4.4.3. Экспоненциальная зависимость	10
5. Вывод	11
6. Приложение	12
6.1. Листинг	12

1. Цель работы

Познакомиться со средствами генерации и визуализации сигналов.

2. Программа работы

В командном окне MATLAB и в среде Simulink промоделировать сигналы из Главы 3, сс. 150-170 (А.Б. Сергиенко Цифровая обработка сигналов).

3. Теоретическая информация

Основной задачей цифровой обработки сигналов является переход от аналогового сигнала, который является непрерывной функцией времени, к дискретному сигналу. Для этого задаются частотой дискретизации, на её основе формируют временной ряд и считают значения сигнала в дискретные моменты времени (отсчёты).

При анализе сигналов часто используют спектр сигнала. Для получения спектра сигнал, который является функцией времени, переводят в функцию частоты. Для этого используется преобразование Фурье.

4. Ход выполнения работы

4.1. Визуализация дискретного сигнала

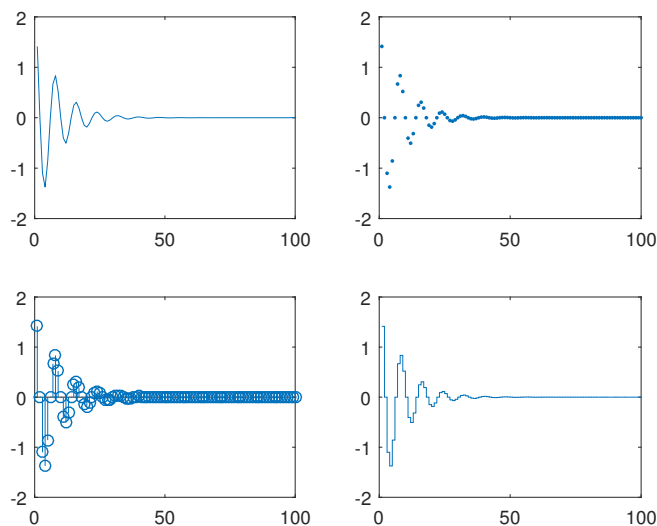


Рисунок 4.1. Различные виды представления дискретного сигнала

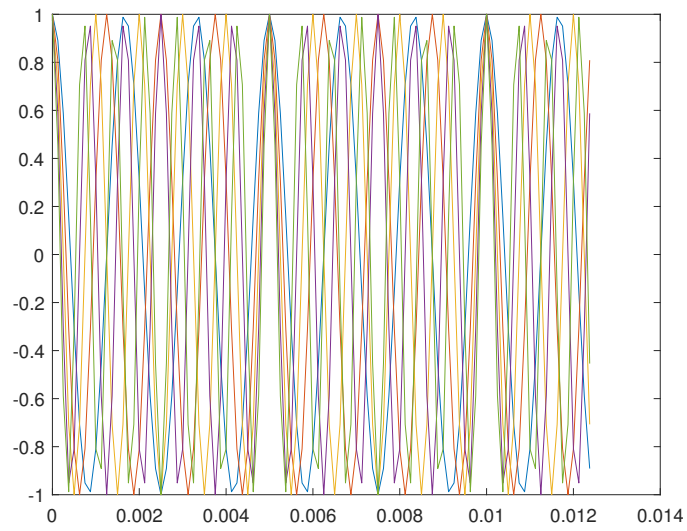


Рисунок 4.2. Многоканальный сигнал

4.2. Генерация кусочных зависимостей

Моделирование отсчётов сигнала, который описывается разными функциями для разных промежутков времени.

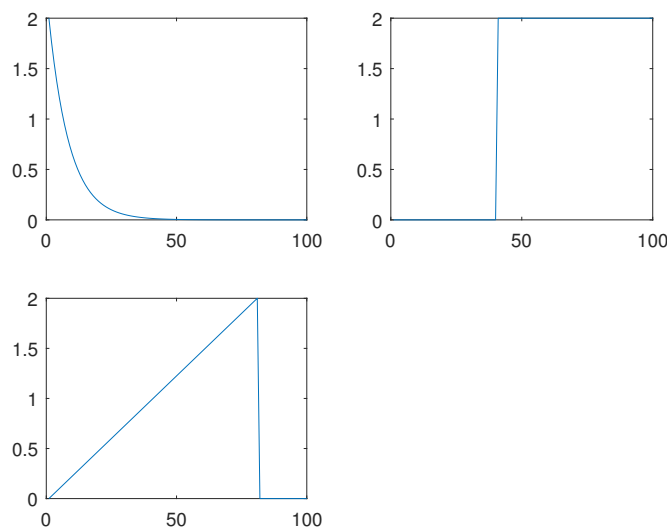


Рисунок 4.3. Одиночные импульсы

4.2.1. Прямоугольный импульс

$$y = \begin{cases} 1, & \text{если } -\frac{width}{2} \leq t < \frac{width}{2} \\ 0, & \text{если } t < -\frac{width}{2}, t \geq \frac{width}{2} \end{cases} \quad (1)$$

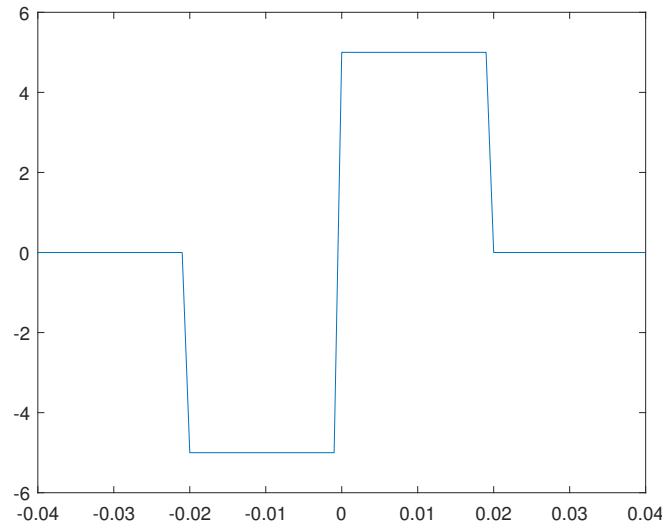


Рисунок 4.4. Прямоугольный импульс

4.2.2. Треугольный импульс

$$y = \begin{cases} \frac{2t+width}{width(skew+1)}, & -\frac{width}{2} \leq t < \frac{width*skew}{2} \\ \frac{2t-width}{width(skew-1)}, & \frac{width*skew}{2} \leq t < \frac{width}{2} \\ 0, & |t| > \frac{width}{2} \end{cases} \quad (2)$$

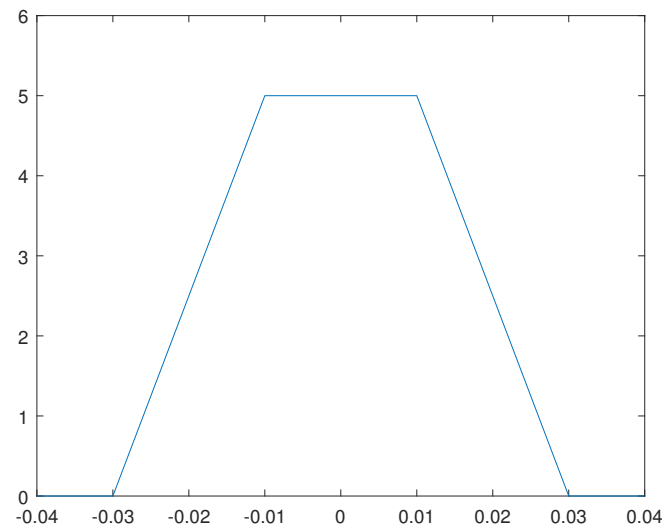


Рисунок 4.5. Треугольный импульс

4.2.3. Импульс с ограниченной полосой частот

Сигнал имеет прямоугольный, то есть ограниченный по частоте спектр.

$$y = \frac{\sin(\pi x)}{\pi x} \quad (3)$$

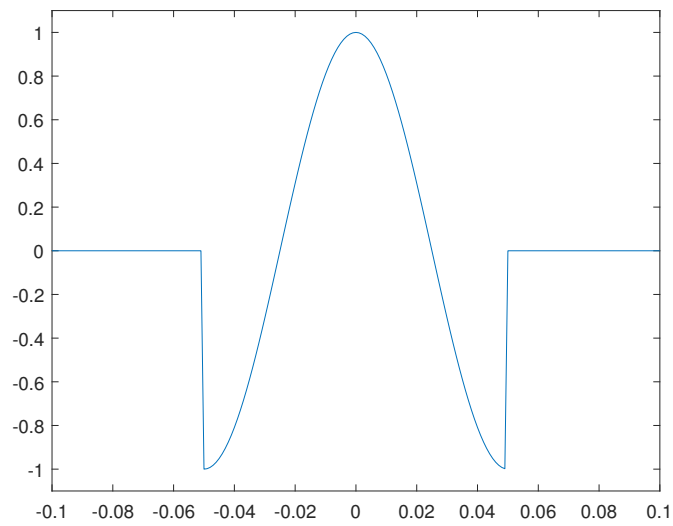


Рисунок 4.6. Ограниченный по частоте импульс

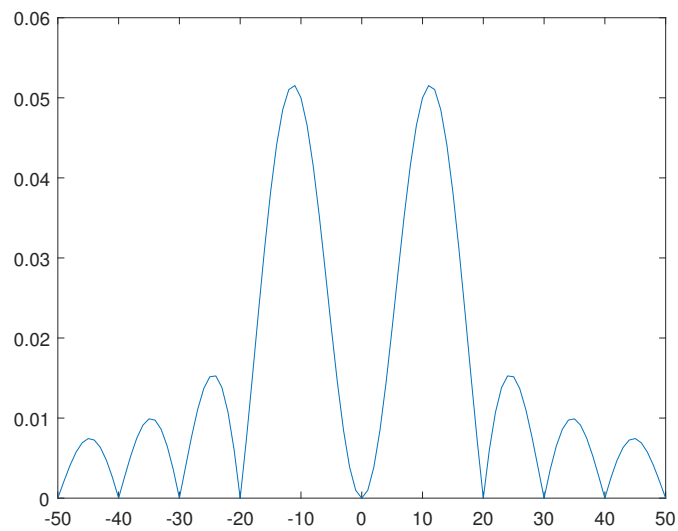


Рисунок 4.7. Амплитудный спектр сигнала

4.2.4. Импульс Гаусса

$$y = \exp(-\alpha t^2) \cos(2\pi f t) \quad (4)$$

$$\alpha = -\frac{5(2\pi f * bw)^2}{bwr * \log 10} \quad (5)$$

В этих формулах: t - значение времени, f - несущая частота, bw - относительная ширина спектра, bwr - уровень в децибелах, по которому производится измерение ширины спектра.

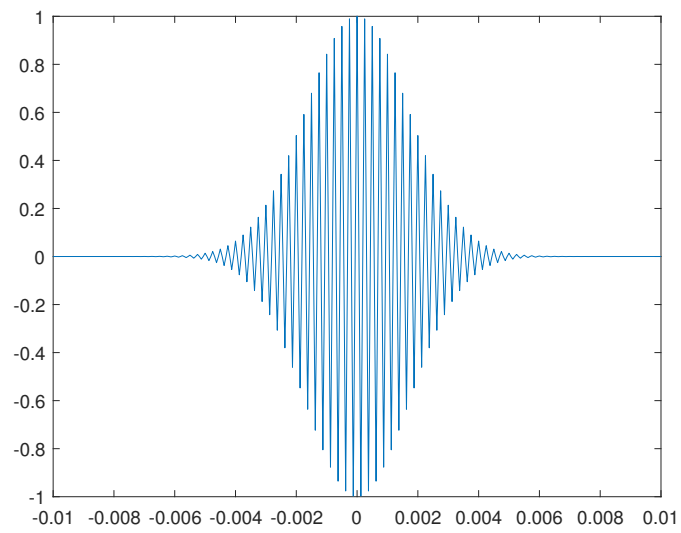


Рисунок 4.8. Импульс Гаусса

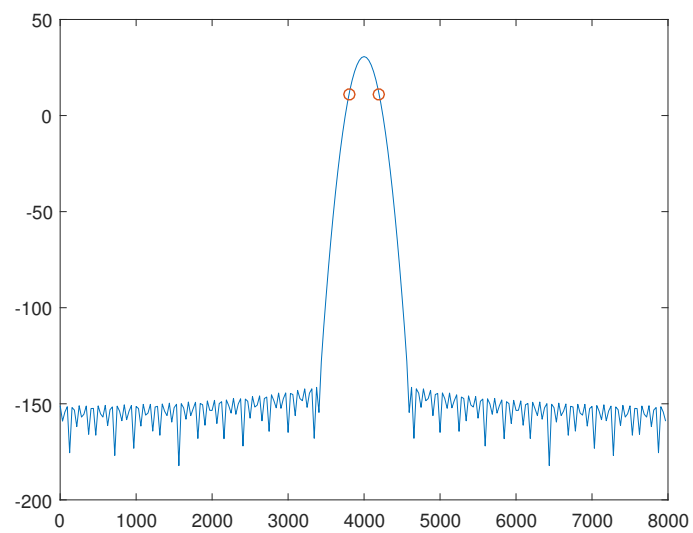


Рисунок 4.9. Амплитудный спектр сигнала

4.3. Генерация последовательности импульсов

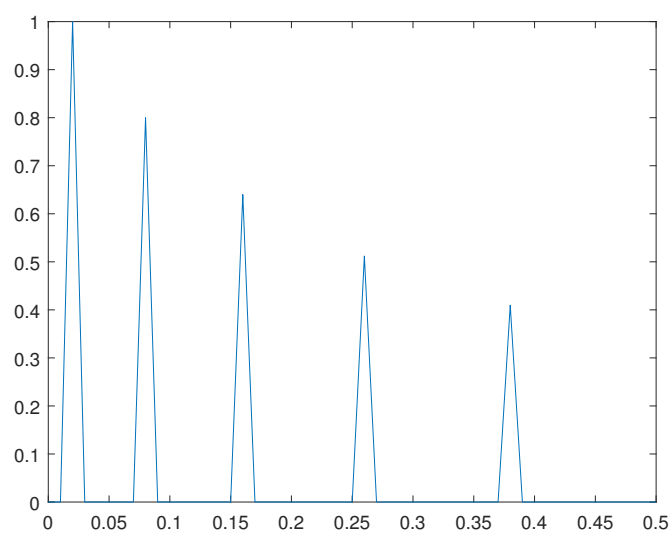


Рисунок 4.10. Последовательность треугольных импульсов

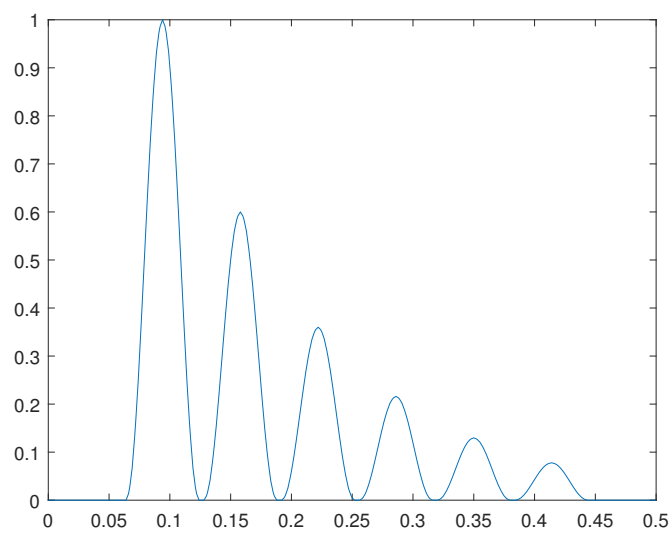


Рисунок 4.11. Последовательность синусоидальных импульсов

4.3.1. Последовательность прямоугольных импульсов

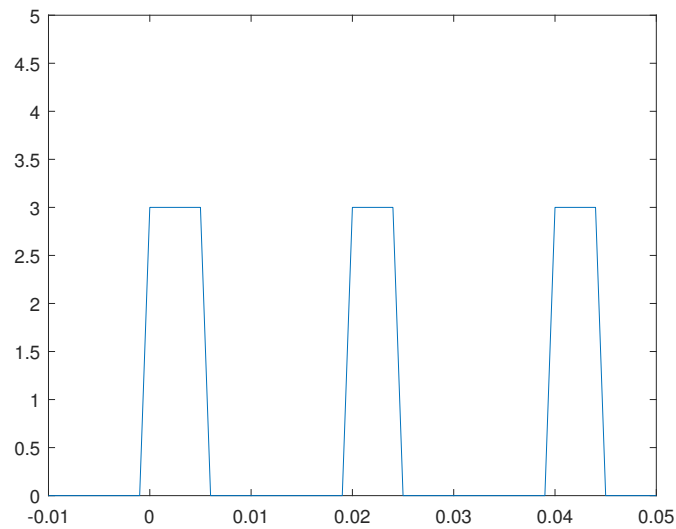


Рисунок 4.12. Последовательность прямоугольных импульсов

4.3.2. Последовательность треугольных импульсов

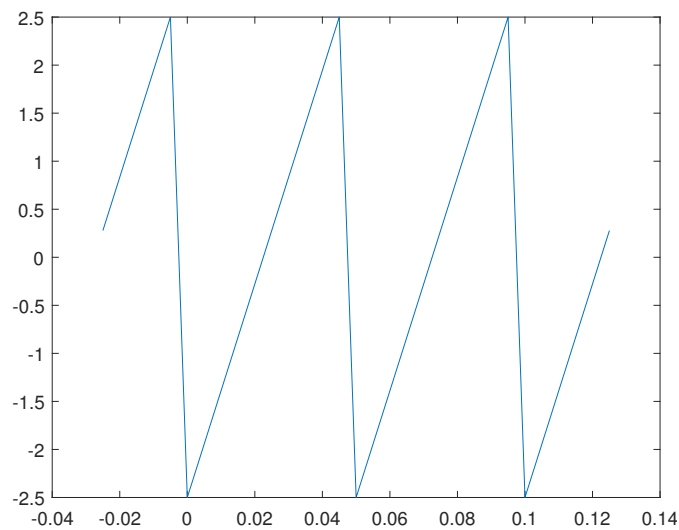


Рисунок 4.13. Последовательность треугольных импульсов

4.3.3. Функция Дирихле

$$diric(x) = \frac{\sin(nx/2)}{n \sin(x/2)} \quad (6)$$

В этой функции n - целое положительное число и определяет порядок.
Вид функции Дирихле при нечётном порядке ($n = 7$)

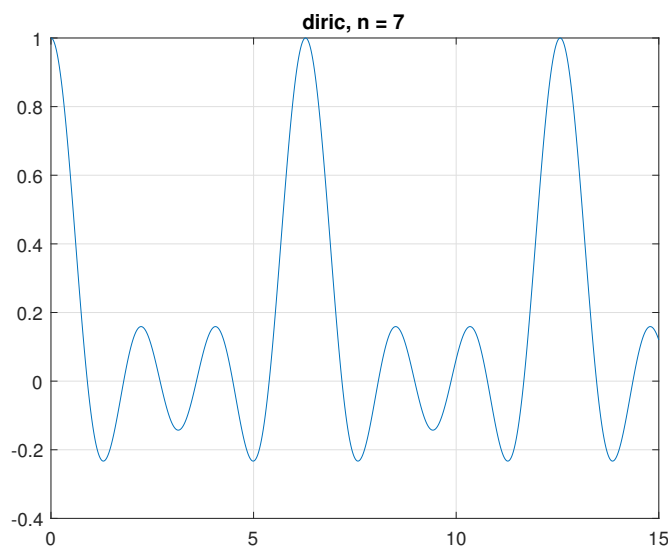


Рисунок 4.14. Функция Дирихле при $n = 7$

Вид функции дирихле при чётном порядке ($n = 8$)

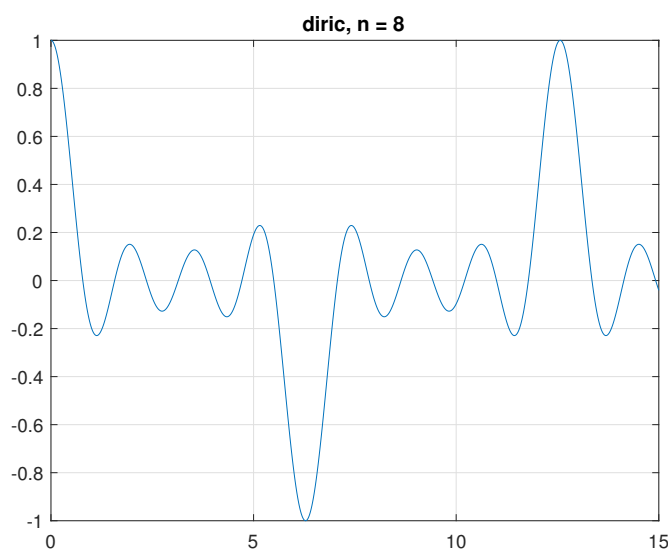


Рисунок 4.15. Функция Дирихле при $n = 8$

4.4. Сигнал с меняющейся частотой

Сигналы разделяются по типу зависимости мгновенной частоты от времени.

4.4.1. Линейная зависимость

$$f(t) = f_0 + \beta t \quad (7)$$

$$\beta = \frac{f_1 - f_0}{t_1} \quad (8)$$

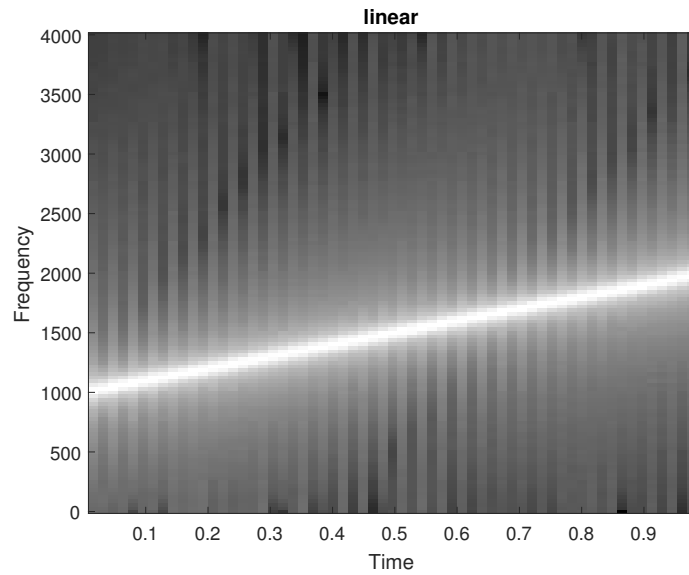


Рисунок 4.16. Спектр сигнала при линейной зависимости

4.4.2. Квадратичная зависимость

$$f(t) = f_0 + \beta t^2 \quad (9)$$

$$\beta = \frac{f_1 - f_0}{t_1^2} \quad (10)$$

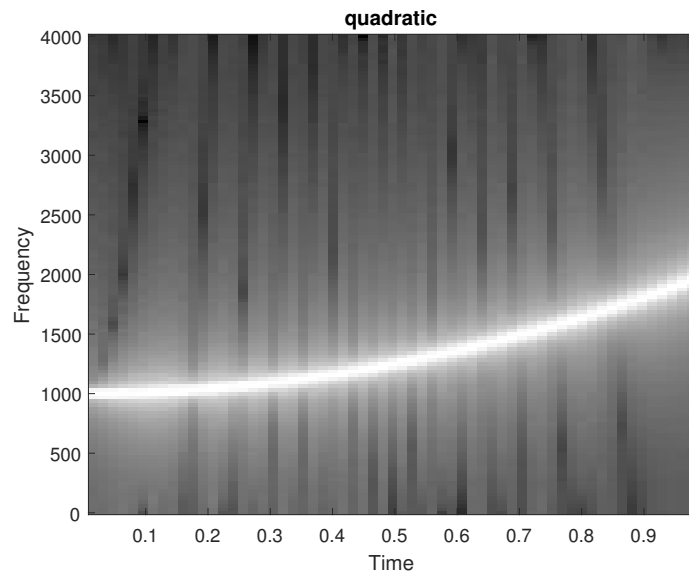


Рисунок 4.17. Спектр сигнала при квадратичной зависимости

4.4.3. Экспоненциальная зависимость

$$f(t) = f_0 + \exp(\beta t) \quad (11)$$

$$\beta = \frac{\ln(f_1 - f_0)}{t_1} \quad (12)$$

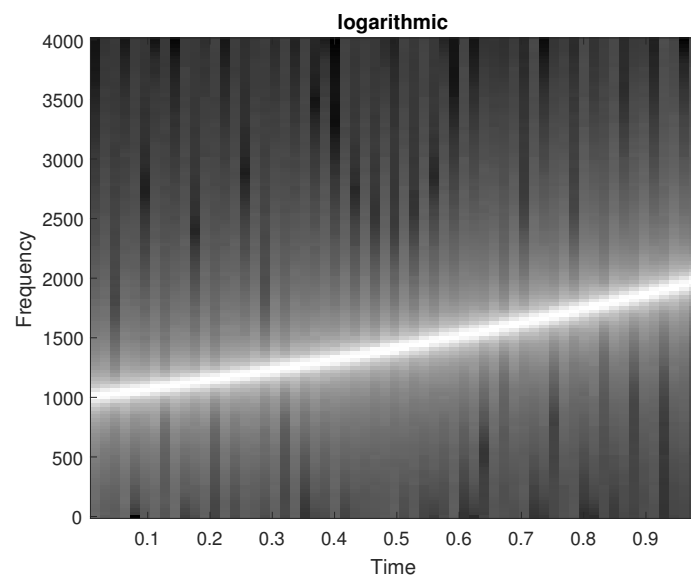


Рисунок 4.18. Спект сигнала при экспоненциальной зависимости

5. Вывод

В ходе работы были рассмотрены различные способы визуализации сигналов, способы получения спектра сигнала и методы генерации сигналов с разнообразными характеристиками. Так же были рассмотрены сигналы различного вида.

6. Приложение

6.1. Листинг

Листинг 1: lab1.m

```
1 close all;
2 clc;
4
4 Fs = 8e3;
5 t = 0:1/Fs:1;
6 t = t';
8
8 A_ = 2;
9 f0_ = 1e3;
10 phi_ = pi/4;
11 s1_ = A*cos(2*pi*f0*t+phi);
12 alpha_ = 1e3;
13 s2_ = exp(-alpha*t).*s1;
15
15 figure();
16 subplot(2,2,1);
17 plot(s2(1:100));
19
19 subplot(2,2,2);
20 plot(s2(1:100), ' . ');
22
22 subplot(2,2,3);
23 stem(s2(1:100));
25
25 subplot(2,2,4);
26 stairs(s2(1:100));
28
28 figure();
29 plot(t(1:100), s2(1:100))
33
33
33
33 f_ = [600_800_1000_1200_1400];
34 s3_ = cos(2*pi*t*f);
36
36 figure();
37 plot(t(1:100), s3(1:100,:))
39
39 T_ = 10e-3;
40 s_exp_ = zeros(size(t));
41 inds_ = (t >= 0);
42 s_exp(inds_) = A*exp(-alpha*t(inds));
44
44 s_rect_ = zeros(size(t));
45 s_rect(abs(t) >= T/2) = A_;
47
47 s_asym_ = zeros(size(t));
48 inds_ = (t >= 0) & (t <= T);
49 s_asym(inds_) = A_*t(inds)/T;
51
51 figure();
52 subplot(2,2,1);
53 plot(s_exp(1:100));
55
```

```

55 subplot(2,2,2);
56 plot(s_rect(1:100));
58
58 subplot(2,2,3);
59 plot(s_asym(1:100));
62
62
62 Fs=1e3;
63 t=-40e-3:1/Fs:40e-3;
64 T=20e-3;
65 A=5;
66 s=A*rectpuls(t+T/2,T)+A*rectpuls(t-T/2,T);
68
68 figure()
69 plot(t,s)
70 ylim([-6 6])
72
72 T2=60e-3;
73 s=A*(T2*tripuls(t,T2)-T*tripuls(t,T))/(T2-T);
75
75 figure()
76 plot(t,s)
78
78 t=-0.1:1/Fs:0.1;
79 f0=10;
80 T=1/f0;
81 s=rectpuls(t,T).*cos(2*pi*f0*t);
82 f=-50:50;
83 sp=T/2*(sinc((f-f0)*T)+sinc((f+f0)*T));
85
85 figure()
86 plot(t,s)
87 ylim([-1.1,1.1])
88 figure()
89 plot(f,abs(sp))
93
93
93
93 Fs=16e3;
94 t=-10e-3:1/Fs:10e-3;
95 Fc=4e3;
96 bw=0.1;
97 bwr=-20;
98 s=gauspuls(t,Fc,bw,bwr);
99 Nfft=2^nextpow2(length(s));
100 sp=fft(s,Nfft);
101 spdb=20*log10(abs(sp));
102 f=(0:Nfft-1)/Nfft*Fs;
103 spmaxdb=20*log10(max(abs(sp)));
104 edges=Fc*[1-bw/2 1+bw/2];
105 figure()
106 plot(t,s)
107 figure()
108 plot(f(1:Nfft/2),spdb(1:Nfft/2))
109 hold_on
110 plot(edges,spmaxdb([1 1])+bwr,'o')
111 hold_off
114
114
114 fs=1e3;

```

```

115 t_ = 0:1/fs:0.5;
116 tau_ = 20e-3;
117 d_ = [20_80_160_260_380]' * 1e-3;
118 d(:,2) = 0.8.^(0:4)';
119 y_ = pulstran(t,d,'tripuls',tau);
120 figure()
121 plot(t,y)
124
124
124 fs0_ = 400;
125 tau_ = 60e-3;
126 t0_ = 0:1/fs0:tau;
127 s0_ = sin(pi*t0/tau).^2;
129
129 fs_ = 1e3;
130 t_ = 0:1/fs:0.5;
131 d_ = (1:6)' * 64e-3;
132 d(:,2) = 0.6.^(0:5)';
133 y_ = pulstran(t,d,s0,fs0);
134 figure()
135 plot(t,y)
138
138
138 Fs_ = 1e3;
139 t = -10e-3:1/Fs:50e-3;
140 a = 3;
141 f0 = 50;
142 tau = 5e-3;
143 s_ = (square(2*pi*t*f0, f0*tau*100)+1)*a/2;
144 figure()
145 plot(t,s)
146 ylim([0 5])
149
149
149 t = -25e-3:1/Fs:125e-3;
150 a = 5;
151 T_ = 50e-3;
152 t1_ = 5e-3;
153 s_ = (sawtooth(2*pi*t/T,1-t1/T))*a/2;
155
155 figure()
156 plot(t,s)
159
159
159 x_ = 0:0.01:15;
160 figure()
161 plot(x,diric(x,7))
162 grid_on
163 title('diric, n = 7')
164 figure()
165 plot(x,diric(x,8))
166 grid_on
167 title('diric, n = 8')
170
170
170 fs_ = 8e3;
171 t_ = 0:1/fs:1;
172 f0 = 1e3;
173 t1_ = 1;
174 f1_ = 2e3;

```

```
175 s1=_chirp(t,f0,t1,f1,'linear');
176 s2=_chirp(t,f0,t1,f1,'quadratic');
177 s3=_chirp(t,f0,t1,f1,'logarithmic');
179
179 figure()
180 specgram(s1,[],fs)
181 title('linear')
182 colormap_gray
184
184 figure()
185 specgram(s2,[],fs)
186 title('quadratic')
187 colormap_gray
189
189 figure()
190 specgram(s3,[],fs)
191 title('logarithmic')
192 colormap_gray
```